

### บทที่ 3

#### การศึกษาที่ผ่านมา

Mostkow, M.A. (1957) ได้เสนอแนวทางในการแก้ปัญหาของการไหลผ่านตะแกรงที่อยู่ท้องน้ำ (bottom-racks) โดยในการทดลองของเขาได้กำหนดให้ตะแกรงผันน้ำมีที่ตะแกรงวางตามยาว ในการวิเคราะห์เขาได้สมมติให้พลังงานจำเพาะ (specific energy) ของการไหลเหนือที่ของตะแกรงมีค่าคงที่ และถือว่าเป็นศักย์ประสิทธิผล (effective head) ที่ทำให้เกิดการไหลลอดผ่านตะแกรงผันน้ำ อัตราการไหลต่อหน่วยความยาวของตะแกรงสามารถหาได้โดยพิจารณาให้การไหลมีลักษณะคล้ายกับการไหลผ่านช่องเปิดขอบคม (orifice) คือ

$$-\frac{dQ}{dx} = C_1 \epsilon b \sqrt{2gE} \quad (3-1)$$

- เมื่อ  $C_1$  = สัมประสิทธิ์ของการไหลลอดผ่าน longitudinal bar bottom-racks  
 $b$  = ความกว้างของทางน้ำหรือของตะแกรง  
 $E$  = พลังงานจำเพาะเหนือตะแกรงซึ่งมีค่าคงที่  
 $\epsilon$  = อัตราส่วนพื้นที่ช่องเปิด (opening area ratio) ของตะแกรงผันน้ำ  
 $g$  = ความเร่งเนื่องจากแรงโน้มถ่วงของโลก

สมการเชิงอนุพันธ์ของการไหลแบบเปลี่ยนแปลงน้อย (Spatially Varied Flow) สำหรับการไหลในทางน้ำที่อยู่ในแนวราบและปราศจากความฝืดคือ

$$\frac{dy}{dx} = \frac{Qy \left( -\frac{dQ}{dx} \right)}{gb^2 y^3 - Q^2} \quad (3-2)$$

นอกเหนือจากนั้นอัตราการไหลที่หน้าตัดใดๆคือ

$$Q = by\sqrt{2g(E-y)} \quad (3-3)$$

จากสมการข้างต้นจะได้สมการของ water surface profile คือ

$$x = \frac{E}{C_1 \varepsilon} \left( \frac{y_{1e}}{E} \sqrt{1 - \frac{y_{1e}}{E}} - \frac{y}{E} \sqrt{1 - \frac{y}{E}} \right) \quad (3-4)$$

เมื่อ  $x$  = ระยะทางตามแนวตะแกรงผันน้ำ

$y_{1e}$  = ความลึกการไหลที่จุดเริ่มต้นของตะแกรง

$y$  = ความลึกการไหลที่จุดใดๆ เหนือตะแกรง

ค่าสัมประสิทธิ์  $C_1$  จะถูกสมมติให้มีค่าคงที่สำหรับในแต่ละความลาดของตะแกรง โดยเขาได้แนะนำว่า ค่าของ  $C_1$  แปรผันจาก 0.435 สำหรับความลาด 1 : 5 ไปเป็น 0.497 สำหรับตะแกรงที่อยู่ในแนวราบ

Naseda (1956) ได้ศึกษาเกี่ยวกับ Longitudinal bar bottom-intakes โดยสมมติฐานของเขาจะคล้ายๆกับสมมติฐานของ Mostkow แต่จะมีเพิ่มเติมที่การไหลเข้าสู่ (Approach Flow) ตะแกรงจะมีลักษณะเป็นการไหลแบบวิกฤติและอัตราการไหลต่อหน่วยความยาวคือ

$$-\frac{dQ}{dx} = C_n \varepsilon b \sqrt{2gy} \quad (3-5)$$

เมื่อ  $C_n$  = สัมประสิทธิ์การไหลผ่านตะแกรงผันน้ำ

$y$  = ความลึกการไหลเหนือตะแกรงผันน้ำที่หน้าตัดที่พิจารณา

การไหลเข้าใกล้แบบวิกฤติ (Critical approach flow) คือ

$$Q_s^2 = gb^3 y_{1e}^3 \quad (3-6)$$

เมื่อ  $Q_s$  = การไหลทั้งหมดในทางน้ำหลักหรืออัตราการไหลเข้าสู่ตะแกรงผิวน้ำ  
 อัตราการไหลของน้ำที่ถูกผันออก (Discharge diversion),  $\frac{Q_D}{Q_s}$  หาได้จากความคง  
 ที่ของพลังงานจำเพาะคือ

$$\frac{Q_D}{Q_s} = 1 - \sqrt{2 \left( 1.5 - \frac{y_{2e}}{y_{1e}} \right) \frac{y_{2e}}{y_{1e}}} \quad (3-7)$$

เมื่อ  $y_{2e}$  = ความลึกการไหลที่จุดสิ้นสุดของตะแกรง

$Q_D$  = อัตราการไหลลอดผ่านตะแกรง

ความสัมพันธ์ระหว่างความลึก ณ จุดเริ่มต้นและสุดท้ายของตะแกรง คือ

$$\sqrt{2} C_n \varepsilon \frac{L}{y_{1e}} = \frac{3}{4\sqrt{2}} \left[ \sin^{-1}(1/3) - \sin^{-1} \left( \frac{4y_{2e}}{3y_{1e}} - 1 \right) \right] + \frac{3}{2} \left[ 1 - \sqrt{\frac{3y_{2e}}{y_{1e}} - \frac{2y_{2e}^2}{y_{1e}^2}} \right] \quad (3-8)$$

Naseda ยังได้แนะนำอีกว่าค่า  $C_n$  ไม่ขึ้นกับการไหลในทางน้ำหลัก,  $Q_s$  และอัตรา  
 ส่วนของ  $d/L$  ของตะแกรงผิวน้ำ

เมื่อ  $d$  = เส้นผ่าศูนย์กลางของซี่ตะแกรง

$L$  = ความยาวของตะแกรง

*White, et al. (1972)* ได้ใช้แบบจำลองในการทดลองและเปรียบเทียบประสิทธิภาพ  
 (performance) ของ bottom-intakes แบบต่างๆ ที่มีความแตกต่างกันของ ความยาวซี่  
 (bars) , ระยะห่างระหว่างbars , ความลาดตามแนวยาวของผิวบนสุดของ bars และทำการ  
 วิเคราะห์ข้อมูลโดยใช้พื้นฐานจากงานของ Naseda การทดลองได้กระทำกับตะแกรงที่ทำ  
 จาก bars ที่วางตามแนวยาว โดยตะแกรงจะถูกกำหนดให้มีความลาดตามยาวที่คงที่คือ 1:5  
 ในการทดลองครั้งนี้ค่าของ  $\varepsilon$  จะอยู่ระหว่าง 0.167 ถึง 0.333 และ  $L/w$  มีค่าจาก 6 ถึง 10

เมื่อ  $w$  คือความกว้างของ bar จากการทดลองนี้แสดงให้เห็นว่าค่า  $C_n$  ไม่เป็นอิสระจากการไหลในทางน้ำหลัก

แผนภาพการออกแบบ (Design Chart) อาศัยพื้นฐานจากการทดลองกับแบบจำลอง โดยเป็นการแสดงความสัมพันธ์ระหว่าง

$$\frac{Q_s}{bL \varepsilon \sqrt{gw}} \quad \& \quad \frac{Q_D}{bl \varepsilon \sqrt{gw}}$$

ซึ่งใช้ได้สำหรับ  $6 < 1/w < 10$  ;  $0.167 < \varepsilon < 0.333$

*Subramanya and Sengupta (1971,1986)* ได้ศึกษาและทำการทดลองเพิ่มเติมเกี่ยวกับการไหลเหนือ Transverse bar bottom-racks โดยตะแกรงถูกสร้างขึ้นจากซี่ที่มีหน้าตัดเป็นรูปสี่เหลี่ยมผืนผ้าที่มีความกว้าง  $w$  โดยจากการทดลองได้แสดงให้เห็นว่า ค่าสัมประสิทธิ์อัตราการไหล  $C_1$  ของ Mostkow ขึ้นอยู่กับสถานะการไหลของน้ำที่ไหลอยู่ในทางน้ำหลัก กล่าวคือไม่ว่าจะเป็นการไหลแบบใต้วิกฤติ (subcritical flow) หรือการไหลแบบเหนือวิกฤติ (supercritical flow) รวมทั้งไม่ว่าจะเป็นอัตราส่วนใดๆก็ตามของ  $w/L$

เมื่อการไหลเข้าใกล้ (Approach flow) เป็นการไหลแบบเหนือวิกฤติ ค่า  $C_1$  จะผันแปรอย่างมีนัยสำคัญตามตัวประกอบของพื้นที่ (area factor) โดยค่าสัมประสิทธิ์  $C_1$  จะลดลงเมื่อ Froude Number ของการไหลเข้าใกล้เพิ่มขึ้นและอิทธิพลหรือผลเนื่องจาก  $w/L$  นั้นมีน้อยมาก แนวทางแบบเดิมยังคงเกิดขึ้นเมื่อการไหลเข้ามาเป็นการไหลแบบใต้วิกฤติโดย  $w/L$  จะมีผลอย่างมากต่อค่าของ  $C_1$  ยิ่งกว่านั้นยังพบอีกว่าค่าของ  $C_1$  ในกรณีของการไหลแบบใต้วิกฤติจะมีค่าสูงกว่าในกรณีของการไหลแบบเหนือวิกฤติ แต่พวกเขาไม่ได้ศึกษาถึงอิทธิพลของความเอียงของตะแกรงที่มีผลต่อค่า  $C_1$

*Rangaraju, et al. (1977)* ได้ศึกษาการไหลเหนือ bottom-racks ที่ประกอบด้วย ซี่ของตะแกรงมีลักษณะหน้าตัดเป็นวงกลมและวางขวาง (transverse circular bars) การศึกษาจำกัดอยู่ที่การไหลเข้าใกล้ตะแกรงเป็นแบบใต้วิกฤติเท่านั้น ชุดของสมการที่ได้แสดงความสัมพันธ์ระหว่างความยาวของตะแกรงกับตัวแปรทางชลศาสตร์ และความสัมพันธ์อย่าง

ง่าย ๆ สำหรับสัมประสิทธิ์การหดหรือบีบตัวกับตัวแปรต่างๆ กล่าวคือสัมประสิทธิ์การหดหรือบีบตัวเป็นฟังก์ชันของ Reynolds Number ของการไหลเข้าใกล้, Froude Number ของการไหลเหนือตะแกรงและอัตราส่วนของช่องเปิดของตะแกรง ยิ่งกว่านั้นพวกเขาายังแสดงให้เห็นอีกว่ามีพลังงานสูญเสียสำหรับการไหลเหนือตะแกรง ซึ่งมีค่าอยู่ในช่วง 20% - 50% ของพลังงานจำเพาะเริ่มต้น นอกจากนี้ยังได้เสนอวิธีการคำนวณอัตราการไหลผ่านตะแกรงและความลึกที่ทางเข้าและทางออกด้วย

*Mostkow (1957)* ได้ศึกษาเกี่ยวกับ bottom-racks ที่มีลักษณะเป็นแผ่นที่มีการเจาะให้เป็นรู (Perforated plate bottom-racks) ในการวิเคราะห์ปัญหาเขาได้สมมติให้ effective head ที่ทำให้เกิดการไหลมีค่าเท่ากับความลึกการไหลเหนือตะแกรง อัตราการไหลลอดผ่านต่อหน่วยความยาวของตะแกรงคือ

$$-\frac{dQ}{dx} = C_2 \epsilon b \sqrt{2gy} \quad (3-9)$$

เมื่อ  $C_2$  คือ สัมประสิทธิ์การไหลสำหรับ Perforated plate bottom-racks สมการเชิงอนุพันธ์ของการไหลแบบเปลี่ยนแปลงน้อยโดยสมมติให้ทางน้ำอยู่ในแนวราบและปราศจากความฝืดคือ

$$\frac{dy}{dx} = \frac{Qy \left( -\frac{dQ}{dx} \right)}{gb^2 y^3 - Q^2} \quad (3-10)$$

แทนค่าสมการที่ (3-9) และ (3-3) ลงในสมการที่ (3-10) และทำการอินทิเกรตโดยใช้เงื่อนไขขอบเขต (boundary condition)  $y = y_0$  ที่  $x = 0$  จะได้สมการแสดงระยะทางตามแนวตะแกรงกับระดับความลึกการไหลสำหรับการไหลแบบเปลี่ยนแปลงน้อยสำหรับ perforated plate bottom-racks คือ

$$x = \frac{E}{\varepsilon C_2} \left[ \frac{1}{2} \left( \cos^{-1} \sqrt{\frac{y}{E}} - \cos^{-1} \sqrt{\frac{y_{1e}}{E}} \right) + \frac{3}{2} \left( \sqrt{\frac{y_{1e}}{E} \left( 1 - \frac{y_{1e}}{E} \right)} \right) - \sqrt{\frac{y}{E} \left( 1 - \frac{y}{E} \right)} \right] \quad (3-11)$$

Mostkow พบว่าค่า  $C_2$  จะมีค่าคงที่สำหรับแต่ละความลาดของตะแกรงและจะผันแปรจาก 0.750 สำหรับความลาด 1 : 5 เป็น 0.800 สำหรับตะแกรงที่อยู่ในแนวราบ

*Subramanya (1986)* ได้แนะนำว่าค่า  $C_2$  ของ Perforated plate bottom-racks สามารถคาดหมายได้จากตัวแปรต่างๆ กล่าวคือ

$$C_2 = f(F_1, \varepsilon, \lambda_1, \lambda_2) \quad (3-12)$$

เมื่อ  $\lambda_1$  คือ พารามิเตอร์ของระยะห่างระหว่างรูเจาะ (hole spacing parameter)

$\lambda_2$  คือ พารามิเตอร์การจัดเรียงของรูเจาะ (hole arrangement parameter)

แต่ไม่มีการทดลองเพิ่มเติมเกี่ยวกับการวิเคราะห์การผันแปรของค่า  $C_2$

*Venkataraman et al. (1977, 1980)* ได้ศึกษาลักษณะทางชลศาสตร์ของช่องที่เจาะไว้ที่ท้องน้ำ (bottom-slots) โดยได้ทำการวิเคราะห์และทำการทดลองศึกษาการไหลผ่านช่องเปิด (slots) ตลอดความกว้างของทางน้ำ โดยกำหนดให้สัมประสิทธิ์การไหลผ่านช่องเปิด

$$C_{dv} = \frac{Q_D}{bL\sqrt{2gE_1}} \quad (3-13)$$

เมื่อ  $E_1$  = พลังงานจำเพาะของการไหลที่ทางเข้า  
สมการที่แสดงถึงการผันแปรของ  $C_{dv}$  คือ

$$C_{dv} = 0.611 \sqrt{1 - \left( \frac{V_1^2}{2gE_1} \right)} \quad (3-14)$$

สมการที่ (3-14) ได้รับการยืนยันโดยการทดลองทั้งการไหลที่เป็นแบบไดวิกฤติและการไหลแบบเหนือวิกฤติ สำหรับอัตราส่วน  $Q_D/Q_s$  ถูกนิยามว่าเป็น Performance factor ของช่องเปิดและพบว่าเป็นฟังก์ชันของ  $L/y_c$  นั่นคือ

$$\frac{Q_D}{Q_s} = 0.59 \left( \frac{L}{y_c} \right) + 0.04 \left( \frac{L}{y_c} \right)^2 \quad (3-15)$$

Venkataraman ยังได้นิยามสัมประสิทธิ์การไหลอีกตัวหนึ่งคือ

$$C_{dv1} = \frac{Q_D}{bL\sqrt{2gy_{1e}}} \quad (3-16)$$

และยังสังเกตจากการทดลองอีกว่าค่าสัมประสิทธิ์การไหลดังกล่าวไม่เปลี่ยนแปลงตามค่า Froude Number เริ่มต้น,  $F_1$  และ  $\frac{y_{1e}}{L}$  แต่จะลดลงเมื่อความยาว  $L$  ของช่องเปิดเพิ่มขึ้น

นอกจากนี้ยังได้ศึกษาเกี่ยวกับ bottom-racks และ slots ทุกชนิด โดยแสดงให้เห็นว่าสมมติฐานที่ว่าพลังงานจำเพาะเหนือตะแกรงมีค่าคงที่ยังคงใช้ได้สำหรับการไหลเข้าใกล้แบบไดวิกฤติสำหรับตะแกรงที่มีช่องเปิดน้อย ในกรณีอื่นๆทั้งหมดพลังงานจะลดลงตามความยาวของตะแกรงแต่ไม่มีรายงานเกี่ยวกับการศึกษาในรายละเอียด

*Ramamurthy, et al (1986)* ได้ใช้ข้อมูลพื้นฐานจากการทดลองแบบจำลองทางไหลออกของทางน้ำแบบที่มีการไหล 2 มิติ ในการเสนอความสัมพันธ์ระหว่างสัมประสิทธิ์อัตราการไหล  $C_{dr}$  และพารามิเตอร์ของความเร็ว  $\eta_1$  กับ  $\frac{L}{y_{1e}}$  ซึ่งเป็นกลุ่มของพารามิเตอร์สำหรับอัตราการไหลผ่านช่องเปิดที่อยู่ที่พื้นทางน้ำ คือ

$$C_{dr} = 0.611 + C_{1r}\eta_1^2 + C_{2r}\eta_1^4 + C_{3r}\eta_1^6 + \dots \quad (3-17)$$

สำหรับ  $0 < \frac{L}{y_{1e}} \leq 1.0; 0 < \eta_1 \leq 1.0$

เมื่อ

$$C_{1r} = -0.538 + 0.254 \left( \frac{L}{y_{1e}} \right) \quad (3-18)$$

$$C_{2r} = 0.058 + 0.234 \left( \frac{L}{y_{1e}} \right) \quad (3-19)$$

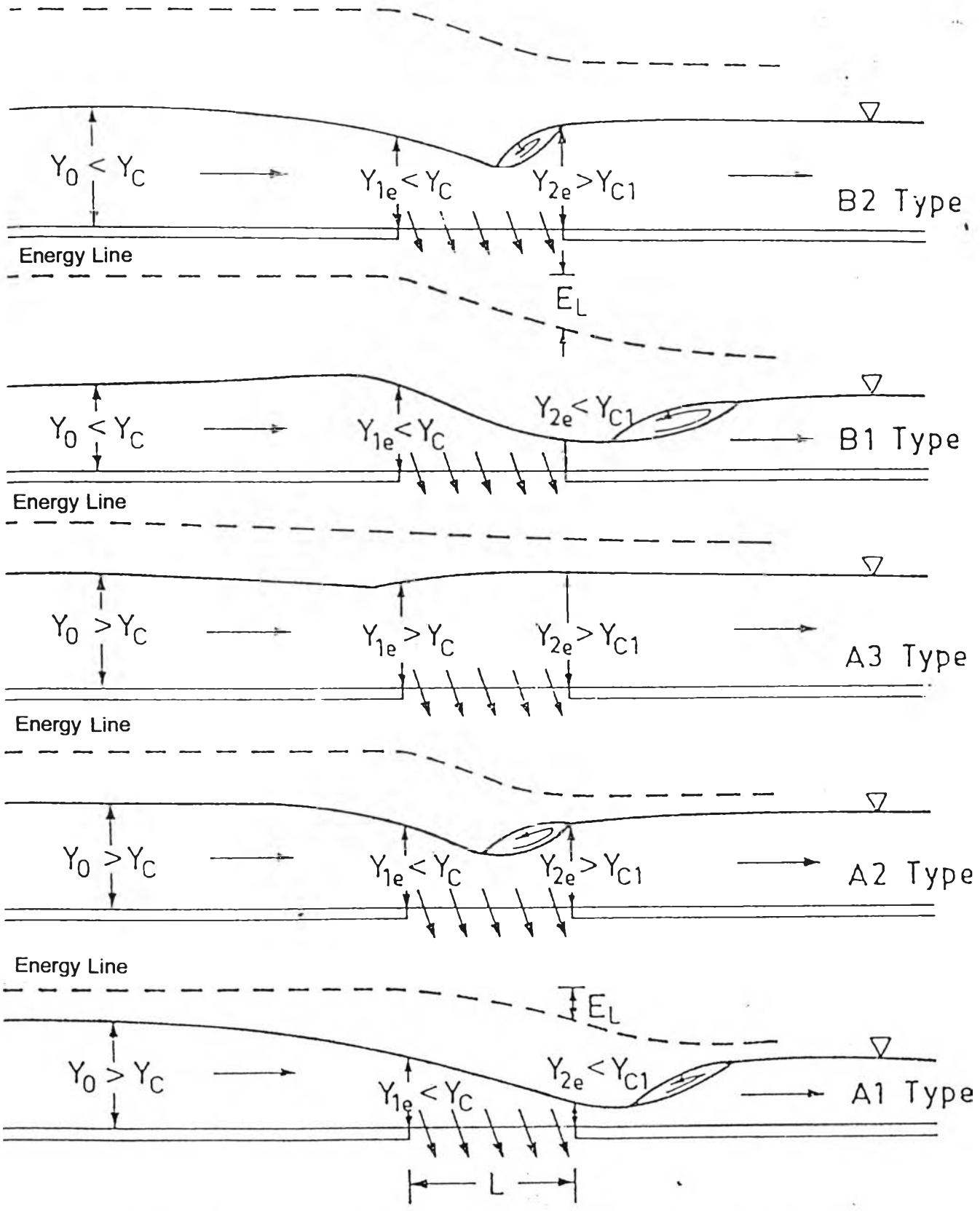
$$C_{3r} = -0.129 - 0.489 \left( \frac{L}{y_{1e}} \right) \quad (3-20)$$

$$\eta_1 = \frac{1}{1 + \frac{2P_c}{F_1^2}} \quad (3-21)$$

และ  $P_c$  = ตัวประกอบการปรับแก้ความดัน (Pressure correction factor) สำหรับ  
การไหลแบบโค้งมีค่า =  $f \left( \frac{L}{y_c} \right)$

*Shree Kant Shukla (1987)* ได้ทำการทดลองเพื่อศึกษาพฤติกรรมทางชลศาสตร์ของการไหลผ่านตะแกรงที่อยู่ท้องน้ำโดยซี่ของตะแกรงวางตัวตามยาว (longitudinal bar bottom-racks) สภาพการไหลได้ถูกแบ่งออกเป็น 5 ประเภทได้แก่ A1, A2, A3, B1 และ B2 ซึ่งอธิบายได้ดังรูป 3-1 โดยอาศัยเงื่อนไขการไหลเข้าสู่ตะแกรงและผลกระทบเนื่องจากทำynnน้ำที่ตำแหน่งทางเข้า โดยได้ศึกษารายละเอียดสำหรับการไหลแบบ A1, A3 และ B1 ในการไหลแบบ A1 และ B1 ได้มีการหาการเปลี่ยนแปลงของขอบเขตอัตราส่วนของความลึกที่ทางเข้า (limiting inlet depth ratio) อันเนื่องมาจากค่าอัตราส่วนพื้นที่ช่องเปิดของตะแกรง ซึ่งทำให้สามารถทำนายได้ว่าการไหลเหนือตะแกรงจะเป็นการไหลแบบจุ่มทั้งหมดหรือไม่ พารามิเตอร์ต่างๆของการไหลและของตะแกรงที่สำคัญและมีผลกระทบต่อสัมประสิทธิ์อัตราการไหล,  $C_o$





รูป 3-1 การจำแนกสภาพการไหลเหนือตะแกรงผันน้ำโดย Shree Kant Shukla

ได้ถูกนำมาศึกษาและพบว่า พารามิเตอร์ของการไหลสำหรับการไหลแบบ A1 นั้นมีผลต่อค่าสัมประสิทธิ์อัตราการไหล,  $C_0$  น้อยมาก ในขณะที่จะมีผลอย่างมากสำหรับการไหลแบบ A3 และ B1 และมีการศึกษาความผันแปรของอัตราการไหลที่ถูกผันออกไป (Discharge Diversion) อันเกี่ยวเนื่องกับพารามิเตอร์ของการไหลและของตะกอนสำหรับการไหลแบบ A1 และ B1 แยกจากกัน

ในการไหลแบบ A1 และ B1 พบว่ามีการสูญเสียพลังงานเกิดขึ้นซึ่งสามารถตัดทิ้งได้ สำหรับการไหลแบบ A3 มีการศึกษาถึงความลาดของเส้นพลังงาน (energy slope) เหนือตะกอนและทำให้ได้ความสัมพันธ์อย่างคร่าวๆ เพื่อใช้ประเมินหาความลาดของพลังงานในการไหลแบบ A1 และ B1 ซึ่งมีประโยชน์มากสำหรับการหาระดับความลึกการไหลเหนือตะกอน

นอกจากนี้จากการศึกษายังพบว่าที่ตำแหน่งทางเข้าของช่องเปิดตะกอนผันน้ำ การกระจายของความดันจะแตกต่างจากแบบ Hydrostatic เนื่องจากสภาพการไหลที่เส้นการไหลมีลักษณะโค้ง และยังพบอีกว่าที่หน้าตัดห่างจากทางเข้าของตะกอนไปทางเหนือน้ำเป็นระยะทาง 5 เท่า ของความลึกการไหลที่หน้าตัดที่เป็นทางเข้าของตะกอนผันน้ำ สภาพการไหลจะมีเส้นการไหลขนานกันและการกระจายของความดันจะเป็นแบบ Hydrostatic ดังนั้นจึงได้กำหนดให้หน้าตัดดังกล่าวเป็นหน้าตัดที่ใช้หาลักษณะของสภาพการไหลสู่ตะกอนผันน้ำ

*Ali Uyumaz (1997)* ได้ทำการศึกษากการไหลแบบเปลี่ยนแปลงน้อยเทียบตามระยะทางในกรณีที่มีอัตราการไหลลดลง โดยใช้การศึกษากการไหลในทางน้ำรูปตัว U ที่มีฝายด้านข้าง (side weir) เป็นกรณีศึกษา โดยเขาได้ใช้แบบจำลองเชิงตัวเลข (Numerical model) ที่ได้รับจากสมการพลังงานและการแก้ปัญหาโดยวิธี Finite Difference Method ผลของการใช้วิธี Finite Difference Method ในการวิเคราะห์และแก้ปัญหาจะแสดงอยู่ในรูปของกราฟและสมการที่แสดงถึงลักษณะการไหล ซึ่งในการศึกษาของเขาจะศึกษาครอบคลุมการไหลทั้งที่เป็นแบบ subcritical flow และ supercritical flow สำหรับการวิเคราะห์ในเชิงตัวเลขโดยวิธี Finite Difference Method จะถูกเปรียบเทียบกับผลที่ได้จากการทดลองในแบบจำลองทาง

กายภาพที่ได้สร้างขึ้น สำหรับกราฟหรือ chart ที่ได้จากการทดลองในครั้งนี้สามารถนำไปใช้ประโยชน์ในทางปฏิบัติจริงได้

สำหรับสมการที่ได้รับการพัฒนาขึ้นสำหรับการไหลเหนือฝายด้านข้างของทางน้ำเปิด รูปตัว U นี้ได้อาศัยสมมติฐานที่ว่า ไม่มีการสูญเสียพลังงานของการไหลขณะที่เกิดการไหลเหนือฝาย ดังนั้นพลังงานจำเพาะของการไหลถูกสมมติว่ามีค่าคงที่ (Smith 1973 ; El-Khashab and Smith 1976 ; Uyumaz and Musla 1985,1987 ; Hager 1987 ; Uyumaz and Smith 1991 ; Robinson and McGhee 1993) โดยสมมติฐานนี้สามารถใช้ได้กับฝายที่มีความยาวใดๆ โดยที่จะต้องไม่มีความยาวจนเกินไปนักและกำหนดให้อัตราส่วนของอัตราการไหลล้น (Spill flow) ต่ออัตราการไหลในทางน้ำเข้ามาสู่ฝายมีค่าไม่เกิน 0.75 (El-Khashab and Smith 1976-1978) จากรูป 3-2 พลังงานจำเพาะที่จุดใดๆ คือ

$$E = y + \frac{V^2}{2g} \quad (3-22)$$

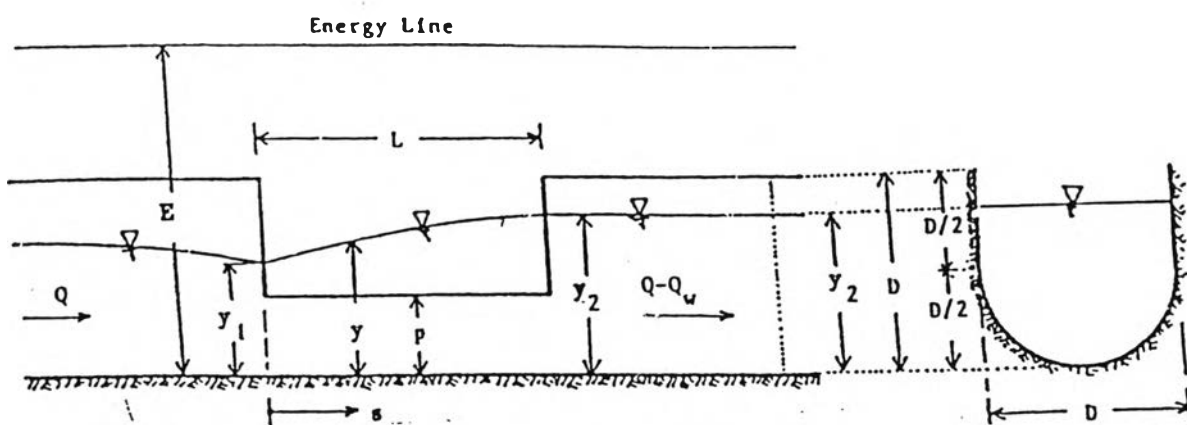
เมื่อ	E	=	พลังงานจำเพาะ
	y	=	ความลึกการไหล
	V	=	ความเร็วเฉลี่ยของการไหลในทางน้ำ
	g	=	ความเร่งเนื่องจากแรงโน้มถ่วงของโลก

ถ้าให้	a	=	พื้นที่หน้าตัดขวางของการไหล
	Q	=	อัตราการไหลในทางน้ำที่หน้าตัดนั้น

จะได้ว่า

$$E = y + \frac{Q^2}{2ga^2} \quad (3-23)$$

ซึ่งจะได้  $Q = a\sqrt{2g(E - y)}$  (3-24)



รูป 3-2 ลักษณะของฝายด้านข้างและการไหลเหนือฝาย

สมมติฐานโดยทั่วไปมีว่าการไหลในทางน้ำที่มีฝายด้านข้างจะประมาณได้ว่าเป็นการไหล 2 มิติและความดันในทางน้ำเป็นแบบ hydrostatic ถึงแม้ว่าจะมีความโค้งและความไม่เรียบของผิวน้ำ ในการศึกษาครั้งนี้ความลึกการไหล  $y$  จะแปรเปลี่ยนตามระยะทาง โดยจะไม่คำนึงถึงการเปลี่ยนแปลงที่มีโอกาสเกิดขึ้นได้ในทิศทางด้านข้างเนื่องจากความยุ่งยากซับซ้อนของปัญหาที่จะทำการศึกษา ถึงแม้ว่าการไหลเหนือฝายด้านข้างจะทำมุม  $90^\circ$  กับทิศทางของฝาย สมการของฝายที่ใช้สำหรับอัตราการไหลต่อหน่วยความยาวถูกสมมติว่าเป็น

$$-\frac{dQ}{ds} = q = m\sqrt{2g(y - p)}(y - p) \quad (3-25)$$

เมื่อ  $m$  = สัมประสิทธิ์อัตราการไหลของฝายด้านข้าง  
 $p$  = ความสูงของฝาย

$s$  = ระยะทางวัดตามแนวททางน้ำ

กำหนดให้อัตราส่วนของอัตราการไหลเหนือฝายต่ออัตราการไหลในททางน้ำมีค่าน้อยกว่าหรือเท่ากับ 0.75 ซึ่งเป็นสมมติฐานที่ใช้ได้ (El-Khashab 1975 ; El-Khashab and Smith 1976 ; Smith 1973,1974)

การเปลี่ยนแปลงของอัตราการไหลต่อหนึ่งหน่วยความยาวในททางน้ำรูปตัว U เนื่องมาจากฝายสามารถหาได้โดยการหาอนุพันธ์ของสมการ (3-24) เทียบกับ  $s$  และแทนค่าในสมการ (3-25) จะได้

$$\frac{d}{ds} [a\sqrt{2g(E-y)}] = -m\sqrt{2g(y-p)}(y-p) \quad (3-26)$$

กำหนดให้

$$B = \sqrt{2g(E-y)} \quad (3-27)$$

สมการที่ (3-26) สามารถเขียนได้เป็น

$$\frac{da}{ds} \sqrt{2g(E-y)} + a \frac{dB}{ds} = -m\sqrt{2g(y-p)}(y-p) \quad (3-28)$$

หาอนุพันธ์ย่อยของสมการที่ (3-27) เทียบกับ  $s$  จะได้

$$\frac{dB}{ds} = -\frac{\sqrt{2g}}{2\sqrt{E-y}} \frac{dy}{ds} \quad (3-29)$$

แทนค่า (3-29) ลงใน (3-28) จะได้

$$\frac{da}{ds} \sqrt{2g(E-y)} - a \frac{\sqrt{2g}}{2\sqrt{E-y}} \frac{dy}{ds} = -m \sqrt{2g(y-p)}(y-p) \quad (3-30)$$

โดยการจัดรูปให้กระชับขึ้นและการจัดเทอมต่างๆใหม่และจากรูป 3-3 จะได้

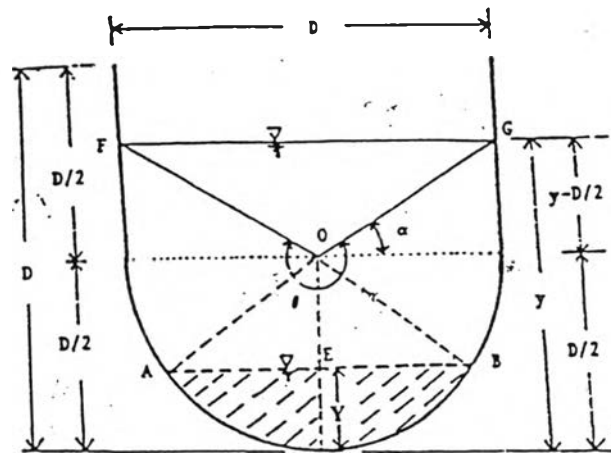
$$dX = -\frac{(\pi+4)}{16m} F(t) dt \quad (3-31)$$

เมื่อ  $X$  = ระยะทางตามแนวสันฝาย

จากสมการ (3-31) อาจจะทำให้ดูง่ายขึ้นโดยใช้ความสัมพันธ์  $dX = ds/D$  จะได้

$$\frac{ds}{D} = -\frac{(\pi+4)}{16m} F(t) dt \quad (3-32)$$

$$ds = -\frac{D(\pi+4)}{16m} F(t) dt \quad (3-33)$$



รูป 3-3 หน้าตัดขวางของทางน้ำรูปตัว U

อินทิเกรตทั้ง 2 ข้างของสมการ

$$\int_{s_1}^{s_2} ds = -\frac{D(\pi+4)}{16m} \int_{t_1}^{t_2} F(t) dt \quad (3-34)$$

$$s_2 - s_1 = \frac{D(\pi+4)}{16m} \left| -\phi(t) \right|_{t_1}^{t_2} = \frac{D(\pi+4)}{16m} \left| \psi(t) \right|_{t_1}^{t_2} \quad (3-35)$$

และ

$$L = \frac{D(\pi+4)}{16m} \left| \psi(t) \right|_{t_1}^{t_2} \quad (3-36)$$

เมื่อ  $L$  = ความยาวของฝาย  
 $\phi(t), \psi(t)$  = Integral areas

สมการ (3-36) ใช้ในการหาความยาวของฝายด้านข้างในทางน้ำรูปตัว U เมื่อระดับน้ำเปลี่ยนแปลงจาก  $y_1$  ไปเป็น  $y_2$  ตามแนวฝาย สำหรับสมการ (3-33) สามารถหาคำตอบโดยใช้ Finite Difference Method

จากการศึกษาของเขาสามารถสรุปได้ว่า

- ก) วิธีการทางทฤษฎีที่น่าเสนอมาเพื่อใช้สำหรับคำนวณหาระดับความลึกการไหลและอัตราการไหลตามแนวฝายด้านข้างในทางน้ำรูปตัว U
- ข) สำหรับในย่านการไหลแบบได้วิกฤติความลึกการไหลในทางน้ำหลักจะเพิ่มสูงขึ้นจากด้านเหนือน้ำไปทางท้ายน้ำและจะเกิดตรงกันข้ามสำหรับการไหลแบบเหนือวิกฤติ
- ค) เทคนิคการคำนวณโดยอาศัยสมมติฐานของพลังงานจำเพาะที่มีค่าคงที่ จะให้ผลลัพธ์ที่แม่นยำมากกว่ากราฟเชิงตัวเลข (Numerical curves) หรือสมการที่มีพื้นฐานจากการทดลองที่อยู่ในช่วงที่จำกัด